

ФОТОХИМИЯ

УДК 544.527.123

## ЛЮМИНЕСЦЕНТНЫЕ СВОЙСТВА НОВЫХ НАФТИЛНИТРОКСИЛЬНЫХ РАДИКАЛОВ

© 2011 г. А. Г. Матвеева\*, \*\*\*, Е. М. Глебов\*, \*\*\*, В. В. Королев\*, \*\*\*, И. П. Поздняков\*, \*\*\*,  
В. Ф. Плюснин\*, \*\*\*, Д. В. Стась\*, \*\*\*, В. А. Резников \*\*, \*\*\*

\*Институт химической кинетики и горения СО РАН  
630090, Новосибирск, ул. Институтская, 3

\*\*Новосибирский институт органической химии им. Н.Н. Ворожцова СО РАН  
630090, Новосибирск, просп. Академика Лаврентьева, 9

\*\*\*Новосибирский государственный университет  
630090, Новосибирск, ул. Пирогова, 2

E-mail: glebov@kinetics.nsc.ru

Поступила в редакцию 02.03.2011 г.  
В окончательном виде 13.04.2011 г.

Методом времяразрешенной флуоресценции исследованы люминесцентные характеристики нескольких 3- и 2-имидаэолиновых производных нафтилина. Для 2-имидаэолиновых производных, в которых имидазолиновый фрагмент связан непосредственно с нафтилиновым, зарегистрирована слабая ( $\phi < 0.001$ ) люминесценция общей  $\pi$ -системы, содержащей радикальную группу и нафтилиновое ядро. Для 3-имидаэолиновых производных, где нафтилиновый и имидазолиновый фрагменты разделены этиленовым мостиком, наблюдается люминесценция со спектром, аналогичным спектру люминесценции свободного нафтилина. Квантовый выход люминесценции и время жизни синглетного возбужденного состояния 3-имидаэолиновых производных примерно в 50 раз меньше, чем для свободного нафтилина, вследствие внутримолекулярного тушения флуоресценции люминофора стабильным радикалом.

Спин-меченные люминофоры представляют интерес в качестве фотопереключаемых магнитных материалов [1, 2], оптических сенсоров на радикалы [3, 4] и модельных соединений для изучения спинового катализа [5, 6]. Спиновый катализ химической реакции парамагнетиками происходит в триадах парамагнитных частиц, где третий электронный спин инициирует спиновую конверсию в паре других частиц [5, 6]. Для исследований спинового катализа требуются соединения, в которых парамагнитный фрагмент присоединен к одному из партнеров радикальной пары, в том числе спин-меченные люминофоры. Несмотря на сильное внутримолекулярное тушение, в ряде случаев удавалось наблюдать слабую флуоресценцию спин-меченных люминофоров [7, 8]. Возможность использования таких соединений в качестве светящихся меток представляется интересом для создания связанных трехспиновых систем в радиационно-химических исследованиях [9–11].

Для решения перечисленных задач необходима информация о люминесценции систем типа флуорофор – нитроксильный радикал. Измерение квантового выхода люминесценции таких систем затруднительно ввиду малости измеряемой величины ( $\phi \sim 0.001$ ). Флуоресценция спин-меченого соединения может быть замаскирована примесями ис-

ходных молекул или диамагнитными примесями, строение которых близки к характеристикам исходного люминофора.

По этим причинам для определения параметров люминесценции спин-меченых соединений необходимо применять времяразрешенную технику. Уменьшение квантового выхода на два порядка приводит к аналогичному сокращению времени жизни люминесценции [8]. Совершенствование техники люминесценции и появление пикосекундных диодных лазеров расширило возможности исследования флуорофоров, ковалентно связанных с нитроксильными радикалами [13–17].

В работе исследованы люминесцентные свойства ряда парамагнитных производных нафтилина. Изученные соединения отличаются по типу радикального фрагмента и по типу связывания нафтилина и радикала. Для выяснения связи между структурой и люминесцентными свойствами были изучены структурные аналоги 3-имидаэолиновых радикалов с этиленовым мостиком между нафтилином и имидазолином. В них нитроксильная группа, несущая неспаренный электрон, заменена на третичный амин – другой известный тушитель люминесценции нафтилина [18, 19].

## ЭКСПЕРИМЕНТАЛЬНАЯ ЧАСТЬ

Соединения **1–5** синтезировали известным методом [11]. Синтез новых соединений **6** и **7** проводили по аналогии с методиками [20, 21].

Структурные формулы исследованных соединений приведены на схеме 1. Диамагнитные соединения **1, 2** являются структурными аналогами радикалов **3, 4** соответственно.

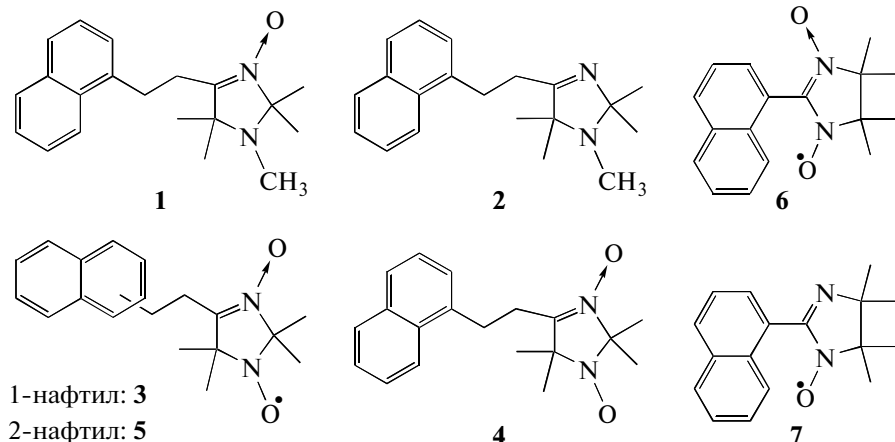


Схема 1. Спин-меченные производные нафтилина и их структурные аналоги.

В качестве растворителей использовались ацетонитрил марки “ос. ч.” (Криохром) и *n*-додекан (Fluka, 99%). *n*-Додекан дополнительно очищался последовательным промыванием концентрированной серной кислотой и водой с последующей сушкой и двукратным пропусканием через колонку с окисью алюминия. Кислород удалялся продувкой образцов аргоном. Поглощение образцов на длине волны возбуждения составляло 0.1–0.2.

Спектры и кинетические кривые люминесценции записывались на спектрофлуориметре FLSP920 (“Edinburgh Instrument”). Люминесценцию возбуждали излучением ксеноновой лампы Xe900 или лазерного диода EPLED-280 ( $\lambda_{ex} = 280$  нм, длительность импульса 600 пс). Квантовые выходы люминесценции определялись по методике [22]. В качестве стандарта для вычисления квантовых выходов использовалось значение квантового выхода флуоресценции нафтилина в ацетонитриле ( $\phi_f = 0.23$  [12]). ЭСП образцов регистрировались на спектрофотометре HP 8453 (Agilent Technologies).

При малых квантовых выходах для определения времен люминесценции необходимо вносить поправку на рассеяние возбуждающего света (релеевское рассеяние, многократные отражения от стенок кюветы) и слабую люминесценцию примесей в растворителе. Поправка производилась по формуле

$$f(t)_{corr} = f(t) - f(t)_{solv} \times 10^{-D_i}, \quad (1)$$

где  $f(t)$  и  $f(t)_{solv}$  — экспериментальные кривые для раствора исследуемого соединения и чистого растворителя (при одном и том же времени накопления сигнала). При определении времен люминесценции учитывалось, что кинетические кривые

представляют собой свертку кинетики люминесценции с аппаратной функцией прибора. Аппаратную функцию определяли регистрацией рассеянного света от матового кварцевого стекла на 280 нм.

## РЕЗУЛЬТАТЫ И ОБСУЖДЕНИЕ

*Квантовые выходы и времена спада люминесценции*

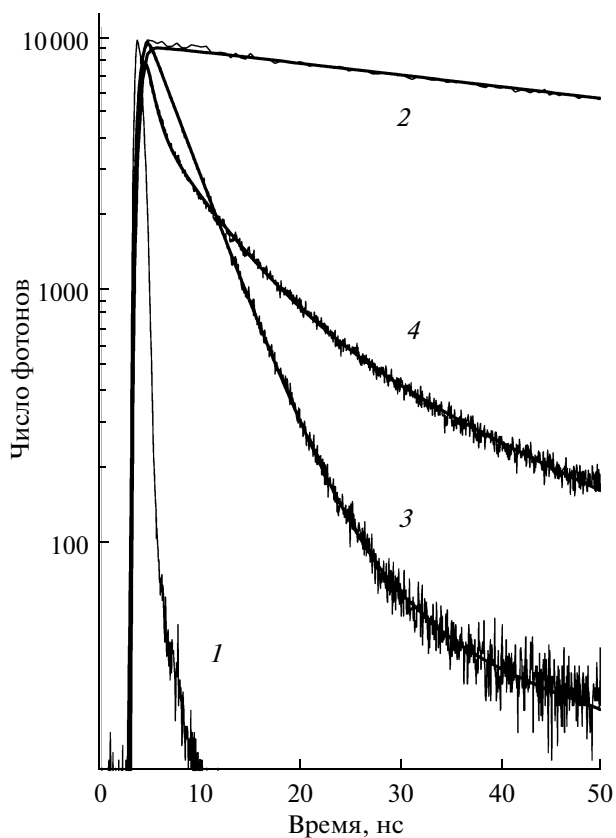
Примеры скорректированных по формуле (1) кривых спада люминесценции вместе с аппроксимирующими функциями приведены на рис. 1. Кинетика люминесценции обычно неэкспоненциальна, и для расчета ее параметров использовали функцию

$$f(t)_{corr} = A_1 e^{-\frac{t}{\tau_1}} + A_2 e^{-\frac{t}{\tau_2}} + A_3 e^{-\frac{t}{\tau_3}}, \quad (2)$$

где  $\tau_i$  — времена спада составляющих экспонент. В таблицах 1–3 приведены интегральные доли этих компонент  $\alpha_i$  и относительные амплитуды  $\beta_i$

$$\alpha_i = \frac{A_i \tau_i}{A_1 \tau_1 + A_2 \tau_2 + A_3 \tau_3}, \quad \beta_i = \frac{A_i}{A_1 + A_2 + A_3}. \quad (3)$$

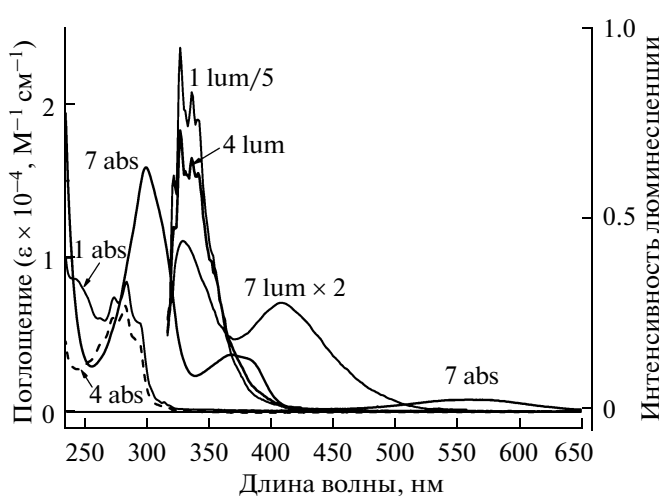
Для получения информации о диамагнитных производных **1** и **2** регистрировались кинетики люминесценции в полярном и неполярном растворителях (ацетонитрил и додекан, табл. 2). Для 2-имидаизолиновых производных **6** и **7**, имеющих двухполосную люминесценцию, кинетические кривые снимались на двух длинах волн (табл. 3). Характерные спектры поглощения и люминесценции исследуемых соединений показаны на рис. 2. Информация об ЭСП всех исследованных соединений содержится в табл. 4.



**Рис. 1.** Кинетики люминесценции ( $\lambda_{\text{ex}} = 280$  нм, ацетонитрил без кислорода): 1 – аппаратная функция, 2–4 – экспериментальные кинетики и результат обработки по уравнению (2); 2 – нафталин, 3 – соединение 1, 4 – соединение 3. Параметры аппроксимации представлены в табл. 1 и 2.

#### Общая характеристика исследованных соединений

Все исследованные соединения разбиваются на два класса согласно типу заместителя: 3-имидаэолиновые (1–5) и 2-имидаэолиновые (6, 7). Они отличаются также структурой мостика, связывающего нафталиновый и имидазолиновый фрагменты. В 3-имидаэолиновых производных это  $\text{CH}_2\text{CH}_2$  мо-



**Рис. 2.** Спектры поглощения и люминесценции ( $\lambda_{\text{ex}} = 280$  нм) соединений 1, 4, 7 в ацетонитриле.

стик, в соединениях 6 и 7 фрагменты связаны непосредственно.

Спектры поглощения и люминесценции 3-имидаэолиновых производных (радикалов 3–5 и диамагнитных соединений 1, 2) близки к спектрам нафталина с небольшим (10–15 нм) сдвигом в длинноволновую область. УФ-спектры соединений 1, 3, 5 имеют дополнительную полосу на 245 нм, обусловленную поглощением нитронной группы имидазолинового кольца. Собственное поглощение нитроксильной группы соответствует запрещенному  $n-\pi$ -переходу ( $\epsilon_{420} \sim 10 \text{ M}^{-1} \text{ cm}^{-1}$  [19]). Из-за отсутствия сопряжения между нафталином и имидазолином взаимное влияние хромофоров в этих соединениях невелико.

Для соединений 6 и 7 связь нафталинового и имидазолинового фрагментов выражена более ярко. Если в 3-имидаэолинах (3–5) спиновая плотность неспаренного электрона локализована на нитроксильной группе (спектры ЭПР этих радикалов представляют собой характерный триплет [23]), то в 2-имидаэолинах (6, 7) неспаренный элек-

**Таблица 1.** Квантовые выходы ( $\lambda_{\text{ex}} = 280$  нм), времена ( $\lambda_{\text{reg}} = 336$  нм), интегральные  $\alpha_i$  и мольные  $\beta_i$  доли времен спада люминесценции 3-имидаэолиновых парамагнитных производных нафталина в ацетонитриле

Соединение	$\Phi_{\text{фл}}^1$	$\tau$ , нс ( $\alpha$ ; $\beta$ , %)			
		$\tau_1$	$\tau_2$ ,	$\tau_3$	$\tau^2$
Нафталин	0.23 <sup>3</sup>	91 (100; 100)			91
3	0.003	0.9 (12.5; 62)	6.5 (44.5; 30)	23 (43; 8)	5.3
4	0.004	0.2 (18; 96)	5.3 (8; 2)	43 (74; 2)	1.8
5	0.005	0.4 (38.5; 95)	5.4 (18; 3)	22 (43; 5.2)	2.0

<sup>1</sup> Для соединений 3–5 представлен наблюдаемый квантовый выход (оценка верхней границы истинного квантового выхода).

<sup>2</sup> Параметр  $\tau$  определялся по формуле (4), см. текст.

<sup>3</sup> По данным [12].

**Таблица 2.** Квантовые выходы ( $\lambda_{\text{ex}} = 280 \text{ нм}$ ), времена ( $\lambda_{\text{reg}} = 336 \text{ нм}$ ) и интегральные доли ( $\alpha_i$ ) времен спада люминесценции 3-имидаэолиновых диамагнитных производных нафталина **1** и **2**

Соединение	$\Phi_{\text{фл}}$	$\tau_1, \text{ нс} (\alpha, \%)$	$\tau_2, \text{ нс} (\alpha, \%)$
Ацетонитрил			
Нафталин	0.23 <sup>1</sup>	91 (100)	
<b>1</b>	0.017	4 (95)	28 (5)
<b>2</b>	0.054	0.7 (5)	61 (95)
Додекан			
<b>1</b>	0.042		14 (100)
<b>2</b>	0.088		35 (100)

<sup>1</sup>По данным [12].

tron делокализован по всей сопряженной системе •O—N—C—N—O (спектр ЭПР на рис. 3). В радикалах с сопряженной системой •O—N—C—N—O (**6**) атомы азота эквивалентны, а в радикалах с сопряженной системой •O—N—C—N (**7**) константа СТВ на “втором” атоме азота вдвое меньше, чем на “радикальном”. ЭСП нитронил(имино)нитроксильной группы, в отличие от спектра изолированной нитроксильной группы, имеет довольно интенсивные ( $\varepsilon \sim 10^3 \text{ M}^{-1}\text{cm}^{-1}$ ) полосы в видимой области ( $\lambda = 560 \text{ нм}$  (**6**),  $\lambda = 408 \text{ нм}$  (**7**), табл. 4). Эти полосы обусловлены  $n-\pi^*$ -переходом с участием неподеленной пары электронов атомов кислорода [24]. Благодаря этому переходу соединения **6** и **7** окрашены: нитронилнитроксильный (**НН**) радикал **6** – синий, иминонитроксильный (**ИН**) радикал **7** – красный. Как правило, полосы поглощения ИН-радикалов сдвинуты в коротковолновую область по сравнению с близкими по строению НН-радикалами за счет большего размера O—N—C—N—O-группы по сравнению с O—N—C—N-группой [24]. Сопряжение между нитронил(имино)нитроксильной группой и ароматическим фрагментом может быть как сильным [1], так и слабым [25] в зависимости от геометрии молекулы.

**Таблица 3.** Квантовые выходы ( $\lambda_{\text{ex}} = 280 \text{ нм}$ ,  $\lambda_{\text{fl}} = 336$  и  $410 \text{ нм}$ ), времена и интегральные доли ( $\alpha_i$ ) времен спада люминесценции 2-имидаэолиновых диамагнитных производных нафталина в ацетонитриле

Соединение ( $\lambda_{\text{fl}}$ , нм)	$\Phi_{\text{фл}}$ <sup>1</sup>	$\tau_1, \text{ нс} (\alpha, \%)$	$\tau_2, \text{ нс} (\alpha, \%)$	$\tau_3, \text{ нс} (\alpha, \%)$
Нафталин (336)	0.23 <sup>2</sup>	91 (100)		
<b>6</b> (336)	0.0020	1.4 (14)	7.5 (22)	61 (64)
<b>6</b> (410)	(0.0008)	1.4 (18)	7.5 (77)	61 (5)
<b>7</b> (336)	0.0016	7.2 (35)	44 (65)	
<b>7</b> (410)	(0.0007)	7.2 (93)	44 (7)	

<sup>1</sup>В скобках приведены истинные значения квантового выхода.

<sup>2</sup>По данным [12].

### Люминесценция 2-имидаэолиновых диамагнитных производных нафталина

Для соединений **6** и **7** сопряжение между нафтильным фрагментом и нитронил(имино)нитроксильной группой является существенным. На это указывает, во-первых, присутствие в спектре ЭПР соединения **6** небольшой константы СТВ на атоме водорода нафтильного фрагмента (рис. 3). Во-вторых, в ЭСП **6** и **7** нельзя однозначно выделить индивидуальные полосы поглощения нафталина и 2-имидаэолина.

Люминесценция соединений **6**, **7** состоит из двух полос (рис. 2). Полоса с максимумом в области 330–336 нм может соответствовать либо люминесценции нафталинового фрагмента молекулы, либо диамагнитной примеси. Ее спектр возбуждения практически совпадает со спектром поглощения нафталина, а не соединений **6**, **7**, что свидетельствует в пользу примесного характера данной полосы. Квантовый выход в коротковолновой полосе мал ( $\sim 2 \times 10^{-3}$ , табл. 3). Кинетика люминесценции соединений **6** и **7** хорошо аппроксимируется тремя и двумя экспонентами соответственно. Наибольшее время близко к времени спада люминесценции нафталина. Долгоживущая компонента обеспечивает основную долю люминесценции в коротковолновой полосе и лишь небольшую – в длинноволновой. Это позволяет отнести коротковолновую полосу и долгоживущую компоненту к люминесценции диамагнитной примеси. Короткие времена  $\tau_1$  и  $\tau_2$  для **6** и  $\tau_1$  для **7** относятся к люминесценции парамагнитных частиц.

Разложение спектров люминесценции соединений **6** и **7** (рис. 2) на два гауссовых контура позволило разделить вклады от люминесценции примеси и собственно исследуемых соединений и оценить истинные квантовые выходы люминесценции **6** ( $8 \times 10^{-4}$ ) и **7** ( $7 \times 10^{-4}$ ) (табл. 3). Для производных **3–5**, в которых люминесценция примеси спектрально не отделена от люминесценции самих соединений, провести такое разделение невозможно.

**Таблица 4.** Максимумы полос поглощения (нм) в спектрах парамагнитных и диамагнитных производных **1–7** нафталина (в скобках  $\varepsilon \times 10^{-3}$ ,  $M^{-1}cm^{-1}$ ; sh – плечо)

1	2	3	4	5	6	7
224 (80.0)	224 (42.2)	224 (73.6)	224 (86.7)	224 (92.1)	210 (40.2)	222 (52.1)
243 sh (8.6)	243 (3.9)	242 sh (9.6)		246 sh (15.4)	224 (44.1)	300 (15.8)
274 (7.4)	273 (6.5)	273 (6.5)	273 (6.1)	277 sh (5.4)	368 (3.7)	264 (8.4)
284 (8.4)	283 (4.5)	284 (7.3)	283 (6.9)	287 sh (3.5)	382 sh (3.4)	283 (8.5)
295 sh (5.7)	293 sh (3.1)	295 sh (4.9)	293 sh (4.6)		560 (0.8)	408 (0.4)

#### Люминесценция 3-имидазолиновых парамагнитных производных нафталина

Квантовые выходы люминесценции парамагнитных соединений **3–5** в ацетонитриле примерно на два порядка меньше, чем для нафталина (табл. 1). Кривые спада люминесценции этих радикалов хорошо описываются трехэкспоненциальными функциями (табл. 1). Последняя компонента с большим временем  $\tau_3$  обусловлена наличием диамагнитной примеси. Кинетика люминесценции собственно парамагнитных соединений является биэкспоненциальной. Наблюдаемые значения квантовых выходов (табл. 1) для **3–5** представляют собой оценки верхних границ этих величин. Для дальнейших оценок использовался параметр  $\tau$ , представляющий собой результат усреднения времен ( $\tau_1, \tau_2$ ) с учетом их интегральных долей [8]

$$\tau = \alpha_1 \tau_1 + \alpha_2 \tau_2. \quad (4)$$

Отношение квантовых выходов люминесценции спин-мечеными производными  $\phi_p$  и нафталина  $\phi_d$  должно равняться отношению соответствующих времен люминесценции  $\tau_p/\tau_d$ , если имеется один дополнительный канал тушения с константой

скорости  $k_q$ , а константы скорости излучательных и безизлучательных переходов для парамагнитного производного и нафталина одинаковы [8]. В этом случае

$$\phi_d/\phi_p = \tau_d/\tau_p, \quad k_q = 1/\tau_p - 1/\tau_d, \quad (5)$$

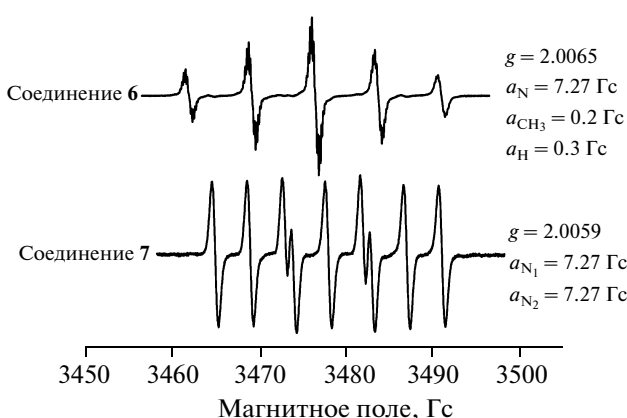
где  $\phi_d, \phi_p$  и  $\tau_d, \tau_p$  – квантовые выходы и времена люминесценции нафталина и радикала. При  $\phi_d = 0.23$  и  $\tau_d = 98.2$  нс для нафталина и  $\phi_p \approx 0.004$  время люминесценции радикалов должно составлять  $\tau_p \sim 2$  нс. Это соотношение хорошо выполняется для **4** и **5**, но соединение **3** выпадает из этого ряда.

Константа скорости тушения люминесценции нафталина ковалентно связанным имидазолиновым радикалом, рассчитанная по формуле (5), равна  $3 \times 10^8$  с<sup>-1</sup>. Для люминофоров с более коротким временем люминесценции, чем у нафталина (например, для паратерфенила  $\phi_{fl} = 1$  и  $\tau_{fl} = 1$  нс [22]), квантовые выходы люминесценции спин-мечеными производными при такой скорости тушения могут достигать  $10^{-2}$ , что существенно выше, чем для парамагнитных производных нафталина.

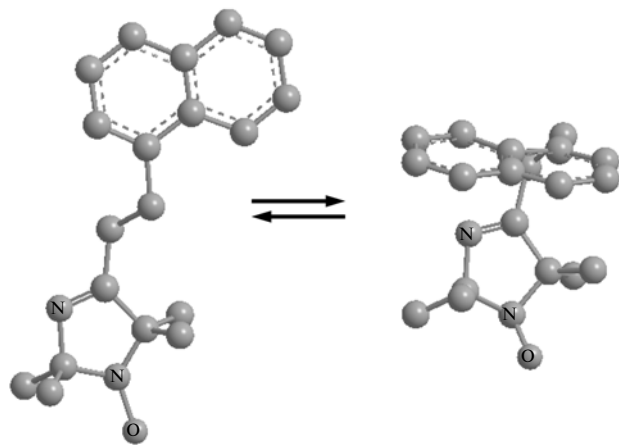
#### Люминесценция 3-имидазолиновых диамагнитных производных нафталина

Представляет интерес сравнить люминесцентные свойства парамагнитных 3-имидазолинов **3–5** и диамагнитных аналогов **1, 2**. Квантовые выходы люминесценции **1** и **2** в полярном растворителе (ацетонитрил) на порядок меньше, чем для нафталина (табл. 2), при этом кривые спада люминесценции являются биэкспоненциальными. В неполярном растворителе (додекан) квантовые выходы больше, а кривые спада люминесценции становятся моноэкспоненциальными.

Биэкспоненциальная кинетика соединений **1** и **2** может быть объяснена наличием двух конформаций с разными временами жизни люминесценции – “свернутой” и “открытой” (рис. 4). Примеры влияния конформационного равновесия на фотофизику молекул известны [26]. Мы предположили, что спад люминесценции **1** и **2** определяется внутримолекулярным переносом электрона между нафталином и третичной аминной группой имидазолинового фрагмента. Этот процесс более эффективен в



**Рис. 3.** Спектры ЭПР соединений **6, 7**. Спектры про- моделированы с указанными параметрами с помо- щью программы WinSim v. 0.96. В качестве стандарта для измерения  $g$ -фактора использовался ДФПГ.



**Рис. 4.** Пространственное расположение фрагментов молекулы при переходе между “свернутой” и “развернутой” конформациями в соединениях **1–4**.

“свернутой” конформации. Существование двух конформеров подтверждается данными ЯМР. Для соединения **1** доли “свернутой” конформации в равновесии больше, чем для **2** [11], что объясняет более эффективное тушение люминесценции в случае **1**.

Свободная энергия Гиббса для переноса электрона возрастает при уменьшении диэлектрической проницаемости растворителя [27]. Квантовый выход люминесценции **1** и **2** при переходе от полярного растворителя (ацетонитрил) к неполярному (додекан) увеличивается в 2–3 раза при исчезновении быстрой компоненты (табл. 2). Это свидетельствует в пользу тушения по механизму переноса электрона. Таким образом, для диамагнитных производных (**1**, **2**) биэкспоненциальность кинетики люминесценции объясняется наличием двух конформаций. Биэкспоненциальность кривых спада люминесценции парамагнитных производных (**3–5**) также может объясняться конформационным равновесием.

## ЗАКЛЮЧЕНИЕ

Синтезированы два новых представителя спин-меченых люминофоров, 2-имидалиновые производные нафталина. Измерены квантовые выходы и времена их люминесценции, а также исследован ряд ранее полученных 3-имидалиновых производных. Методом времязарезенной флуорометрии измерены малые квантовые выходы флуоресценции парамагнитных производных нафталина в условиях, когда она маскируется интенсивной люминесценцией диамагнитных примесей.

Для 2-имидалиновых производных зарегистрирована люминесценция общей  $\pi$ -системы нафталина и нитроксильного радикала с квантовым выходом  $\phi \sim 0.001$ . В 3-имидалиновых радикалах, где нафталиновый и имидалиновый фрагменты

разделены этиленовым мостиком, характерное значение константы скорости тушения люминесценции нафталинового фрагмента составляет  $3 \times 10^8 \text{ с}^{-1}$  ( $\phi \sim 0.004$ ). Теоретически такая константа позволяет при замене нафталина паратерфенилом получить значение  $\phi \sim 0.01$ , что открывает возможность использования структур данного типа как спин-меченные люминофоры в радиационно-химических исследованиях.

Авторы благодарят д.х.н. Н.П. Грицан за полезные замечания при обсуждении статьи.

Работа выполнена при поддержке РФФИ (проект 11-03-00268), ИНТАС (проект 05-1000008-80) и Программы Отделения химии и наук о материалах РАН на 2009–2011 гг. (грант № 5.1.6).

## СПИСОК ЛИТЕРАТУРЫ

1. Matsuda K., Irie M. // Chem. Eur. J. 2001. V. 7. № 16. P. 3466.
2. Teki Y., Miyamoto S., Nakatsui M., Miura Y. // J. Am. Chem. Soc. 2001. V. 123. № 2. P. 294.
3. Medvedeva N., Martin V.V., Weis A.L., Likhentshten G.I. // J. Photochem. Photobiol. A: Chem. 2004. V. 163. № 1–2. P. 45.
4. Blinco J.P., Keddie D.J., Wade T., Barker Ph. J., George G.A., Bottle S. E. // Polymer Degr. Stab. 2008. V. 93. № 9. P. 1613.
5. Минаев Б.Ф. // Журн. физ. химии. 1992. Т. 66. № 11. С. 2992.
6. Buchachenko A.L., Ruban L.V., Step E.N., Turro N.J. // Chem. Phys. Lett. 1995. V. 233. № 3. P. 315.
7. Herblein S.E., Blough N.V. // J. Phys. Chem. B. 1998. V. 102. № 42. P. 8170.
8. Green S.A., Simpson D.J., Zhou G., Ho P.S., Blough N.V. // J. Am. Chem. Soc. 1990. V. 112. № 20. P. 7337.
9. Lukzen N.N., Usov O.M., Molin Yu.N. // Phys. Chem. Chem. Phys. 2002. V. 4. № 21. P. 5249.
10. Sviridenko F.B., Stass D.V., Kobzeva T.V., Tretyakov E.V., Klyatskaya S.V., Mshvidobadze E.V., Vasilevsky S.F., Molin Yu.N. // J. Am. Chem. Soc. 2004. V. 126. № 9. P. 2807.
11. Matveeva A.G., Sviridenko F.B., Korolev V.V., Kuibida L.V., Stass D.V., Shundrin L.A., Reznikov V.A., Grampp G.G. // J. Phys. Chem. A. 2008. V. 112. № 2. P. 183.
12. Grabner G., Rechthaler K., Mayer B., Kohler G., Rotkiewicz K. // J. Phys. Chem. A. 2000. V. 104. № 7. P. 1365.
13. Ishii K., Takeuchi S., Kobayashi N. // J. Phys. Chem. A. 2001. V. 105. № 28. P. 6794.
14. Mitsui M., Kobori Y., Kawai A., Obi K. // J. Phys. Chem. A. 2004. V. 108. № 4. P. 6794.
15. Likhentshtein G.I. // Pure Appl. Chem. 2008. V. 80. № 10. P. 2125.
16. Yeganeh S., Wasielewski M.R., Ratner M.A. // J. Am. Chem. Soc. 2009. V. 131. № 6. P. 2268.

17. Colvin M.T., Giacobbe E.M., Cohen B., Miura T., Scott A.M., Wasielewski M.R. // J. Phys. Chem. A. 2010. V. 114. № 4. P. 1741.
18. Pina F., Lima J.C., Lodeiro C., de Melo J.S., Diaz P., Albelada M.T., Garcia-Espana E. // J. Phys. Chem. A. 2002. V. 106. № 35. P. 8207.
19. Nuin E., Andreu I., Torres M.J., Jimenez M.C., Miranda M.A. // J. Phys. Chem. B. 2011. V. 115. № 5. P. 1158.
20. Osiecki J.H., Ullman E.F. // J. Am. Chem. Soc. 1968. V. 90. № 4. P.1078.
21. Ullman E.F., Call L., Osiecki J.H. // J. Org. Chem. 1970. V. 35. № 11. P. 3623.
22. Eaton D.F. // Pure Appl. Chem. 1988. V. 60. № 7. P. 1107.
23. Володарский Л.Б., Григорьев И.А., Диканов С.А., Резников В.А., Шукин Г.И. // Имидазолиновые нитроксильные радикалы. Новосибирск: Наука, 1988. С. 98.
24. Tretyakov E.V., Samoilova R.I., Ivanov Yu.V., Plyusnin V.F., Pashchenko S.V., Vasilevsky S.F. // Mendeleev Commun. 1999. V. 9. № 3. P. 92.
25. Lescop C., Bussiere G., Beaulac R., Belisle H., Belorizky E., Rey P., Reber C., Luneau D. // J. Phys. Chem. Sol. 2004. V. 65. № 4. P. 773.
26. Lukas A.S., Bushard P.J., Weiss E.A., Wasielewsky M.R. // J. Am. Chem. Soc. 2003. V. 125. № 13. P. 3921.
27. Чубисов Н.Н. // Успехи химии. 1981. Т. 50. № 7. С. 1769.